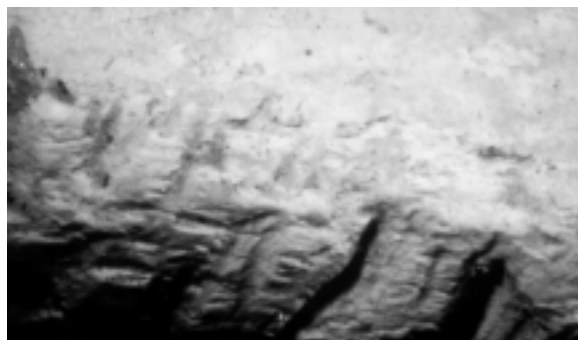


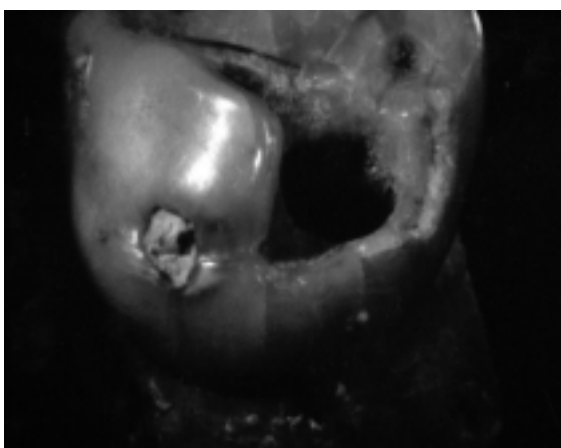
a.) X1-5856. Marca del canino de un carnívoro/carroñero en una falange de dedo gordo de pie (macrofotografía).



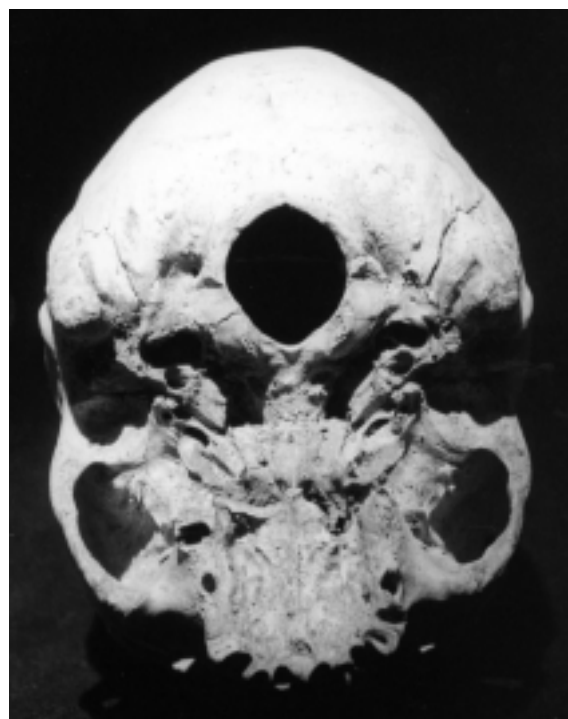
b.) XF-12565. Marcas de incisivos de roedores en un fragmento de diáfisis de fémur (macrofotografía).



c.) XF-13876. Ejemplo de atrición severa en piezas conservadas *in situ*. Exposición de dentina secundaria en 3M y de la cavidad pulpar en P2.



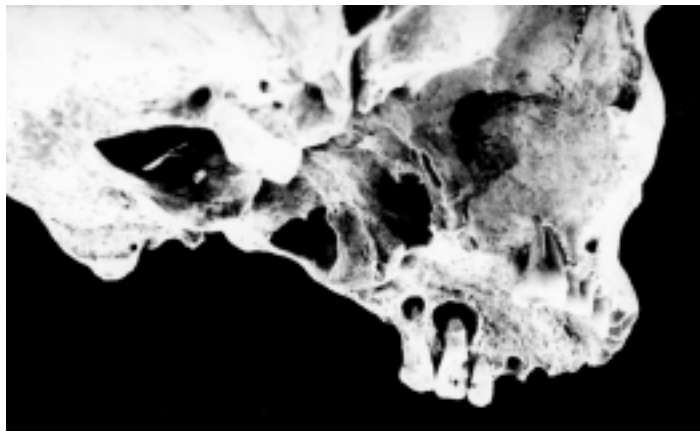
e.) X1-16494. Caries en un primer molar superior de leche (macrofotografía).



d.) AR-149. Exposición de la cavidad pulpar en P1 y pérdida *antermortem* de 2P, M2 y M3.



a.) AR-120. Absceso en 1M y periodontitis en 2M (la perforación periapical es póstuma).



b.) AR-120. Abscesos en 1M y 2M con perforación de la tabla interna y periodontitis en M1 y M2.



c.) AR-149. Absceso en xC.



a.) **AR-111.** Osteoartritis de la ATM (flechas) y pérdida *antermortem* de piezas posteriores.



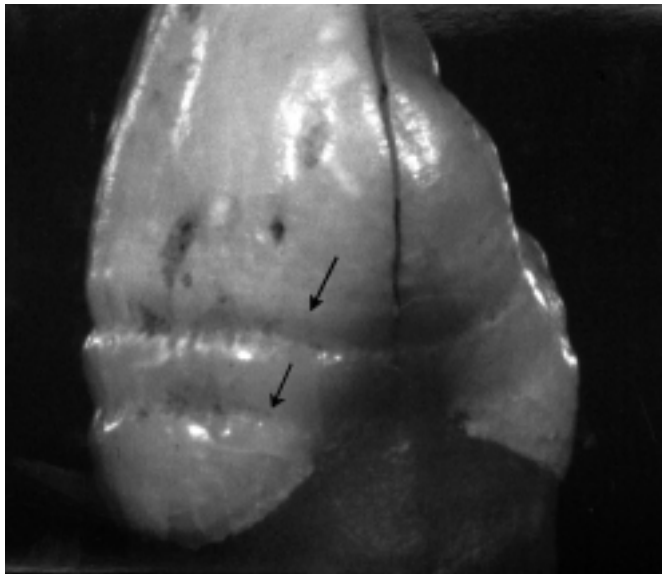
b.) **AR-143.** Pérdida *antermortem* de piezas dentarias posteriores del lado izquierdo. Obsérvese también las lesiones osteoarthriticas en el perímetro articular de los cóndilos occipitales.



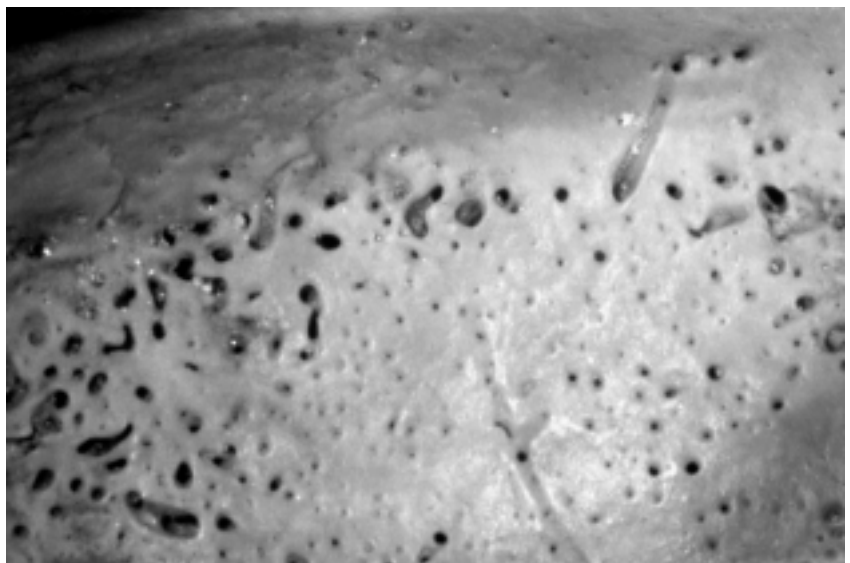
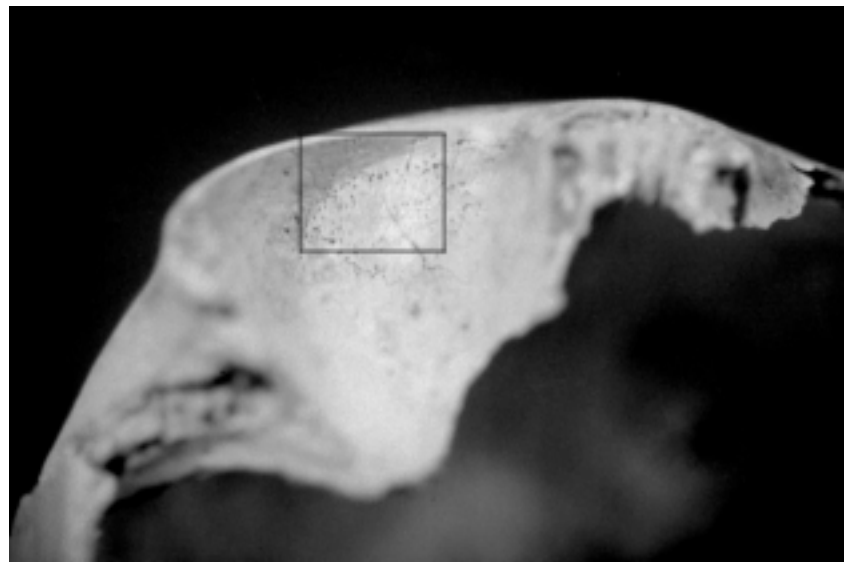
c.) **AR-159.** Placa masiva de cálculo dental.



d.) **AR-31.** Ejemplo de cálculo dental en un individuo infantil.



a.) XF-8212. Bandas hipoplásicas (flechas) en un canino (macrofotografía).



b.) AR-36. Órbita derecha con *cribra orbitalia*. Grado de expresión "2". El recuadro de la imagen superior muestra la zona ampliada en la macrofotografía inferior.